

Campo Gravítico da Terra

3.8 Equação fundamental do Potencial

- O problema da determinação do campo gravítico da terra pode ser dividido em dois: a determinação do campo gravitacional e a determinação do campo centrífugo

$$\Delta W = \Delta V + \Delta \Phi$$

- Como o potencial centrífugo é uma simples função de posição, em que a velocidade angular é constante e conhecida com grande precisão, o problema resume-se à determinação do potencial gravitacional no espaço exterior, ou seja, à resolução da *Equação de Laplace*:

$$\Delta V = 0$$

1

Campo Gravítico da Terra

3.9 Camada de Green e Teorema de Stokes

- Teorema de Stokes: “sendo S uma superfície equipotencial de um campo Newtoniano, contendo no seu interior todas as massas atraentes, se se modificar a distribuição das massas sem se alterar a sua totalidade, por forma que S continue a ser uma superfície equipotencial exterior às massas atraentes, então o potencial V num ponto exterior a S permanece inalterável”.

- A Camada de Green é uma camada sólida esférica (esfera oca) com uma densidade

$$\sigma = -\frac{1}{4\pi G} \frac{\partial V}{\partial n}$$

capaz de gerar um potencial igual ao potencial gravítico no seu exterior

$$G \iiint_V \frac{\rho}{l} dv = G \iint_S \frac{\sigma}{l} ds$$

2

Campo Gravítico da Terra

3.9 Camada de Green e Teorema de Stokes

- O potencial exterior de uma esfera homogênea, $V=GM/l$, é um exemplo da validade do *Teorema de Stokes*;
- Todas as esferas homogêneas concêntricas com a mesma massa total M , independentemente da sua dimensão, geram o mesmo potencial no seu exterior;
- Juntamente com a camada de Green, são exemplos particulares do *Teorema de Stokes*, ***uma função harmónica no exterior de S é unicamente determinada pelos seus valores em S*** ;
- Existem infinitas distribuições de massa que geram o mesmo potencial no exterior da sua superfície;

Geodesia Física – Aula 8

FCUL-EG

3

Campo Gravítico da Terra

3.9 Camada de Green e Teorema de Stokes

- Por estas razões é impossível a determinação da distribuição das massas a partir do seu potencial no exterior;
- Este define-se como o **problema inverso** da teoria do potencial e não tem solução única;
- Este problema surge na prospecção geofísica: as massas invisíveis para serem inferidas a partir das anomalias gravimétricas, necessitam de dados sísmicos e informação geológica adicional;
- Na geodesia, o resultado do Teorema de Stokes é aplicado na determinação do geóide, como um problema de fronteira: *determinar a função harmónica V no exterior de S (geóide) a partir de valores definidos sobre S .*

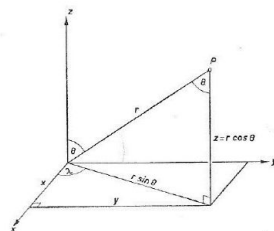
Geodesia Física – Aula 8

FCUL-EG

4

Campo Gravítico da Terra

3.10 Coordenadas esféricas



$$\begin{cases} x = r \sin \theta \cos \lambda \\ y = r \sin \theta \sin \lambda \\ z = r \cos \theta \end{cases}$$

$$\begin{cases} r = \sqrt{x^2 + y^2 + z^2} \\ \theta = \operatorname{tg}^{-1} \left(\frac{\sqrt{x^2 + y^2}}{z} \right) \\ \lambda = \operatorname{tg}^{-1} \left(\frac{y}{x} \right) \end{cases}$$

com $\theta = 90^\circ - \beta$, co-latidade reduzida

Campo Gravítico da Terra

3.10 Coordenadas esféricas

- Elemento linear **ds** em coordenadas esféricas

$$ds^2 = dx^2 + dy^2 + dz^2$$

$$dx = \frac{\partial x}{\partial r} dr + \frac{\partial x}{\partial \theta} d\theta + \frac{\partial x}{\partial \lambda} d\lambda$$

$$dy = \frac{\partial y}{\partial r} dr + \frac{\partial y}{\partial \theta} d\theta + \frac{\partial y}{\partial \lambda} d\lambda$$

$$dz = \frac{\partial z}{\partial r} dr + \frac{\partial z}{\partial \theta} d\theta + \frac{\partial z}{\partial \lambda} d\lambda$$

$$ds^2 = dr^2 + r^2 d\theta^2 + r^2 \sin^2 \theta d\lambda^2$$

Nota: as coordenadas esféricas são ortogonais, logo não há produtos cruzados

Campo Gravítico da Terra

3.11 Equação de Laplace

- Laplaceano em coordenadas cartesianas (x, y, z)

$$\Delta V = \frac{\partial^2 V}{\partial x^2} + \frac{\partial^2 V}{\partial y^2} + \frac{\partial^2 V}{\partial z^2}$$

- Laplaceano em coordenadas ortogonais arbitrárias (q₁, q₂, q₃)

$$\Delta V = \frac{1}{h_1 h_2 h_3} \left[\frac{\partial}{\partial q_1} \left(\frac{h_2 h_3}{h_1} \frac{\partial V}{\partial q_1} \right) + \frac{\partial}{\partial q_2} \left(\frac{h_3 h_1}{h_2} \frac{\partial V}{\partial q_2} \right) + \frac{\partial}{\partial q_3} \left(\frac{h_1 h_2}{h_3} \frac{\partial V}{\partial q_3} \right) \right]$$

Cujo o elemento linear **ds** é dado por:

$$ds^2 = h_1^2 dq_1^2 + h_2^2 dq_2^2 + h_3^2 dq_3^2$$

Campo Gravítico da Terra

3.11 Equação de Laplace

- Coordenadas esféricas q₁=r, q₂=θ, q₃=λ;

$$ds^2 = dr^2 + r^2 d\theta^2 + r^2 \sin^2 \theta d\lambda^2$$

- Coeficientes da expressão de elemento linear das coordenadas ortogonais arbitrárias: h₁=1, h₂=r, h₃=r.sin θ
- Substituindo na forma anterior do Laplaciano e diferenciando, obtemos a *Equação de Laplace* em coordenadas esféricas:

$$\underbrace{r^2 \frac{\partial^2 V}{\partial r^2} + 2r \frac{\partial V}{\partial r}} + \underbrace{\frac{\partial^2 V}{\partial \theta^2} + \cot \theta \frac{\partial V}{\partial \theta} + \frac{1}{\sin^2 \theta} \frac{\partial^2 V}{\partial \lambda^2}} = 0$$

Campo Gravítico da Terra

3.12 Harmónicas esféricas

- Considerando a função do Potencial Gravitacional definida por

$$V(r, \theta, \lambda) = f(r)Y(\theta, \lambda)$$

É possível separar a *Equação de Laplace* na forma anterior em duas equações diferenciais

$$\begin{aligned} r^2 f''(r) + 2rf'(r) - n(n+1)f(r) &= 0 \\ \underbrace{\frac{\partial^2 Y}{\partial \theta^2} + \cot \theta \frac{\partial Y}{\partial \theta}} + \underbrace{\frac{1}{\sin^2 \theta} \frac{\partial^2 Y}{\partial \lambda^2} + n(n+1)Y} &= 0 \end{aligned}$$

Campo Gravítico da Terra

3.12 Harmónicas esféricas

- As soluções da 1ª equação diferencial ordinária são do tipo:

$$f(r) = r^n \quad \text{ou} \quad f(r) = r^{-(n+1)}$$

- Tomando $Y_n(\theta, \lambda)$ como solução da 2ª equação diferencial às derivadas parciais, a *Equação de Laplace*, $\Delta V = 0$, tem as solução:

$$V = r^n Y_n(\theta, \lambda) \quad \text{e} \quad V = \frac{Y_n(\theta, \lambda)}{r^{n+1}}$$

- Estas funções são designadas por harmónicas esféricas sólidas, enquanto que as funções $Y_n(\theta, \lambda)$ são designadas por harmónicas esféricas de superfície

Campo Gravítico da Terra

3.12 Harmónicas esféricas

- Se as seguintes funções são solução da *Equação de Laplace*:

$$V = r^n Y_n(\theta, \lambda) \quad \text{e} \quad V = \frac{Y_n(\theta, \lambda)}{r^{n+1}}$$

então qualquer combinação linear destas soluções

$$V = \sum_{n=0}^{\infty} r^n Y_n(\theta, \lambda) \quad \text{e} \quad V = \sum_{n=0}^{\infty} \frac{Y_n(\theta, \lambda)}{r^{n+1}}$$

é também uma solução da *Equação de Laplace*, pois Δ é um operador linear (a equação diferencial é linear)

Campo Gravítico da Terra

3.12 Harmónicas esféricas

- Considerando a função harmónica esférica de superfície decomposta pelo seguinte produto

$$Y(\theta, \lambda) = g(\theta)h(\lambda)$$

É possível separar a 2ª equação diferencial, novamente, em duas equações diferenciais ordinárias

$$\sin \theta \cdot g''(\theta) + \cos \theta \cdot g'(\theta) + \left[n(n+1) \sin \theta - \frac{m^2}{\sin \theta} \right] g(\theta) = 0$$
$$h''(\lambda) + m^2 h(\lambda) = 0$$

Campo Gravítico da Terra

3.12 Harmónicas esféricas

- Da resolução destas equações diferenciais ordinárias resultam as funções harmónicas esféricas de superfície, soluções da 2ª equação diferencial anterior

$$Y_n(\theta, \lambda) = P_{nm}(\cos \theta) \cos m\lambda$$

$$Y_n(\theta, \lambda) = P_{nm}(\cos \theta) \sin m\lambda$$

- Se estas funções são solução de um equação diferencial linear, também o é qualquer combinação linear destas funções

$$Y_n(\theta, \lambda) = \sum_{m=0}^{\infty} [a_{nm} P_{nm}(\cos \theta) \cos m\lambda + b_{nm} P_{nm}(\cos \theta) \sin m\lambda]$$

Campo Gravítico da Terra

3.12 Harmónicas esféricas

- Inserindo estas funções na combinação linear das harmónicas esféricas sólidas, obtém-se o desenvolvimento em harmónicas esféricas do Potencial Gravitacional, como solução da *Equação de Laplace* para o espaço exterior

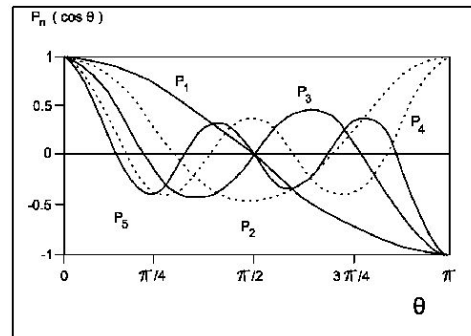
$$V_e(r, \theta, \lambda) = \sum_{n=0}^{\infty} \frac{1}{r^{n+1}} \sum_{m=0}^{\infty} [a_{nm} P_{nm}(\cos \theta) \cos m\lambda + b_{nm} P_{nm}(\cos \theta) \sin m\lambda]$$

- Nesta expressão:
 - a_{nm} e b_{nm} são constantes arbitrárias, chamadas *coeficientes harmónicos* (calculadas com os valores de gravidade por integração);
 - $P_{nm}(t)$ são *funções associadas de Legendre*;
 - n representa o grau e m a ordem do desenvolvimento da série.

Campo Gravítico da Terra

3.12 Harmónicas esféricas

- Exemplos de Polinómios de Legendre (c/ ordem $m=0$)



$$P_n(t) = \frac{1}{2^n n!} \frac{d^n}{dt^n} (t^2 - 1)^n$$

$$P_1(t) = \cos \theta; P_2(t) = \frac{3}{4} \cos 2\theta + \frac{1}{4}; P_3(t) = \frac{5}{8} \cos 3\theta + \frac{3}{8} \cos \theta; P_4(t) = \frac{35}{64} \cos 4\theta + \frac{5}{16} \cos 2\theta + \frac{9}{64}; \text{etc.}$$

Geodesia Física – Aula 8

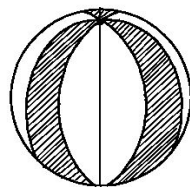
FCUL-EG

15

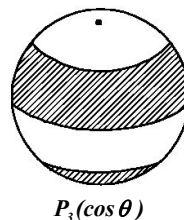
Campo Gravítico da Terra

3.12 Harmónicas esféricas

- Ilustração do zonamento de algumas harmónicas esféricas de superfície (*zonal*, *sectorial* e *tesseral*), positiva na zona tracejada e negativa na zona a branco



$$P_{0,5}(\cos \theta) \cos 5\lambda$$



$$P_3(\cos \theta)$$

$$P_{nm}(t) = (1-t^2)^{m/2} \frac{d^m P_n(t)}{dt^m}$$



$$P_{12,5}(\cos \theta) \sin 5\lambda$$

Geodesia Física – Aula 8

FCUL-EG

16

Campo Gravítico da Terra

3.12 Harmónicas esféricas

- O desenvolvimento em harmónicas esféricas representa uma decomposição espectral em estruturas de campo de comprimento de onda $360^\circ/n$ (resolução $180^\circ/n$);
- Os polinómio de Legendre (P_{n0}) representam um campo rotacional simétrico dividindo a esfera em zonas de latitude, onde o grau n estabelece a simetria em relação ao equador;
- O termo de grau zero corresponde ao potencial de uma Terra esférica e homogénea;
- As harmónicas esféricas são funções ortogonais na superfície esférica S , para qualquer ponto (θ, λ) .

Geodesia Física – Aula 8

FCUL-EG

17

Campo Gravítico da Terra

3.12 Harmónicas esféricas

- As harmónicas esféricas são um tipo de solução da *Equação de Laplace*, $\Delta V=0$;
- Como solução da *Eq. Laplace* elas permitem exprimir o potencial gravitacional em séries de desenvolvimento de harmónicas esféricas;
- Os modelos globais do campo gravítico, e implicitamente do geóide, são soluções deste tipo, representadas pelos respectivos coeficientes de harmónicas esféricas;
- EGM96 é um modelo geopotencial utilizado, e é representado pelos coeficientes harmónicos até ao grau 360;

Geodesia Física – Aula 8

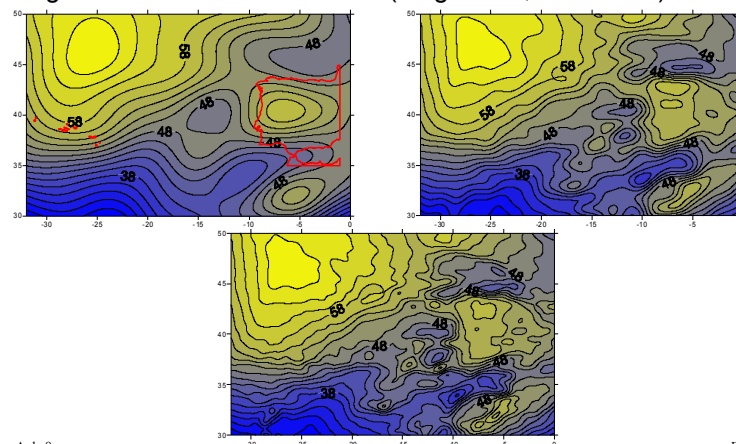
FCUL-EG

18

Campo Gravítico da Terra

3.13 Ondulação do modelo EGM96

- Região Atlântico Norte / Ibérica (de grau 60, 180 e 360)



Geodesia Física – Aula 8

FCUL-EG

19

Campo Gravítico da Terra

3.13 Modelos de Globais de Geóide

ICGEM

Global Gravity Field Models

We kindly ask the authors of the models to check the links to the original websites of the models from time to time. Please let us know if something has changed.

The table can be interactively re-sorted by clicking on the column header fields (Nr, Model, Year, Degree, Data, Reference). In the data column, the datasets used in the development of the models are summarized, where A is for altimetry, S for satellite (e.g., GRACE, GOCE, LAGEOS), G for ground data (e.g., terrestrial, sniporne and airborne measurements) and T is for topography.

The links calculate and show in the last columns of the table directly invoke the Calculation Service and Visualization page for the selected model. For models with a registered doi ("digital object identifier") the last column contains the symbol ✓, which directly opens the page on "http://dx.doi.org". If you click on the reference, the complete list of references can be seen.

Nr	Model	Year	Degree	Data	References	Download	Calculate	Show	DOI
176	XGM2019e_2169	2019	2190	A, G, S(GOCC006s), T	Zingerle, P. et al, 2019	gfc zip gfc zip gfc zip	Calculate	Show	✓
175	GO_CONS_GCF_2_TM_R6e	2019	300	G (Polar), S(Gooc)	Zingerle, P. et al, 2019	gfc zip	Calculate	Show	✓
174	ITSG-Grace2018s	2019	200	S(Grace)	Mayer-Gürr, T. et al, 2018	gfc zip	Calculate	Show	✓
173	EIGEN-GRGS.RLA.MEAN-FIELD	2019	300	S	Lemoine et al, 2019	gfc zip	Calculate	Show	✓
172	GOCO06s	2019	300	S	Kvas et al., 2019	gfc zip	Calculate	Show	✓
171	GO_CONS_GCF_2_TM_R6	2019	300	S(Gooc)	Brockmann, J. M. et al, 2014	gfc zip	Calculate	Show	✓
170	GO_CONS_GCF_2_DIR_R6	2019	300	S	Brutsmma, S. L. et al, 2014	gfc zip	Calculate	Show	✓
169	IGGT_R1C	2018	240	G, S(Gooc), S(Grace)	Lu, B. et al., 2019	gfc zip	Calculate	Show	✓

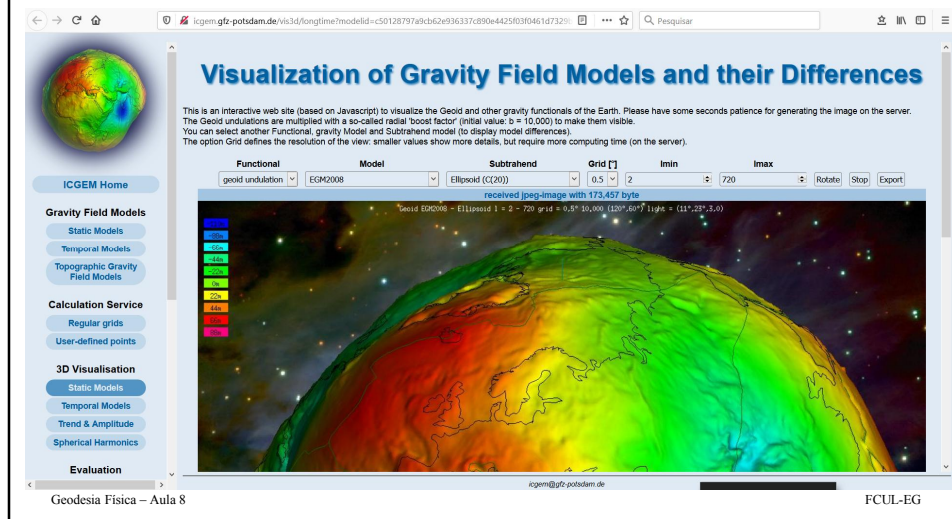
Geodesia Física – Aula 8

FCUL-EG

20

Campo Gravítico da Terra

3.13 Modelos de Globais de Geóide



21

Campo Gravítico da Terra

3.13 Problemas de fronteira

- Problema de *Dirichlet* (1º problema de valor-livre de fronteira)
 - Determinar uma função V que seja harmónica ($\Delta V=0$) no exterior ou interior de uma superfície S , e que assuma valores dados sobre essa fronteira;

$$\text{valores de fronteira: } \bar{V}(R, \theta, \lambda) = \sum_{n=0}^{\infty} Y_n(\theta, \lambda)$$

$$\text{solução: } V(r, \theta, \lambda) = \sum_{n=0}^{\infty} \left(\frac{R}{r} \right)^{n+1} Y_n(\theta, \lambda)$$

- Problema de *Neumann* (2º problema de valor-livre de fronteira)
 - Determinar uma função V que seja harmónica ($\Delta V=0$) no exterior ou interior de uma superfície S , e que verifique valores da sua derivada normal, $\frac{\partial V}{\partial n}$ dados sobre essa fronteira;

Geodesia Física – Aula 8

FCUL-EG

22

Campo Gravítico da Terra

3.13 Problemas de fronteira

- Problema de fronteira da Geodesia Física (*3º problema de valor-livre de fronteira*)

- Determinar uma função V que seja harmónica ($\Delta V=0$) no exterior de uma superfície S , e que assuma como valores de fronteira uma combinação linear de V e da sua derivada normal:

$$\left[hV + k \frac{\partial V}{\partial n} \right]_{r=R} = \sum_{n=0}^{\infty} Y_n(\theta, \lambda)$$

solução:
$$V_e(r, \theta, \lambda) = R \sum_{n=0}^{\infty} \left(\frac{R}{r} \right)^{n+1} \frac{Y_n(\theta, \lambda)}{n-1}$$

- A fórmula integral mais comum que corresponde à solução do problema de fronteira da geodesia física é o conhecido Integral de Stokes.

Geodesia Física – Aula 8

FCUL-EG

23

Campo Gravítico da Terra

3.13 Problemas de fronteira

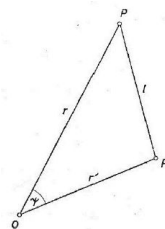
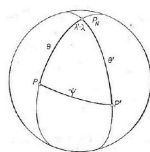
- Solução do problema de Dirichlet (*1º problema de fronteira*)

- Uma outra solução explícita do problema de Dirichlet para o espaço exterior da esfera, é dada pelo **Integral de Poisson**:

$$V_e(r, \theta, \lambda) = \frac{R(r^2 - R^2)}{4\pi} \int_{\lambda'=0}^{2\pi} \int_{\theta'=0}^{\pi} \frac{V(R, \theta', \lambda')}{l^3} \sin \theta' d\theta' d\lambda'$$

com

$$l = \sqrt{r^2 + R^2 - 2Rr \cos \psi}$$



Geodesia Física – Aula 8

FCUL-EG

24